Пример. При заданных размерах: $t_{0.4}=0.1$ м, $t_{0}=0.2$ м, $t_{0}=0.2$ м массах $m_{1}=0.8$ кг. $m_{2}=2.3$ кг. $m_{2}=3.1$ кг. координатах центров масс $t_{0.5}=0.05$ и, $t_{0.5}=0.1$ и, $t_{0.5}=0.1$ м моментах инерсии $t_{0.6}=0.003$ кг м², $t_{0.6}=0.013$ кг м², $t_{0.6}=0.03$ кг м², силы полезного сопротивления $P_{0.6}=100$ Н и средней условой скорости входного звена $m_{0.6}=15$ с $m_{0.6}=100$ н и средней условой скорости входного звена ховик, обеспечивающие коэффициент неравномерности движения $[\mathfrak{T}]=100$ и наилучшую равномерную уравновешенность механизма. По предложенной методике выбирая $t_{0.6}=0.2$ м, определяем: $t_{0.6}=0.2$

ЛИТЕРАТУРА

- 1. Артоболевский И. И. Теория механизмов. М. Наука, 1967. 776 с.
- Баранов Г. Г. Курс теория механизмов и машин М. Машиностроение. 1967. 508 с.
- 3. Геронилус Я. Л. О применении методов Чебышева и задаче уразновенивании меманизмов. — М.—Л.: ОГИЗ, 1948 — 148 с.
- Истроналиро Я. Л. Динамический синтел механизмов по Чебытелу Харьков: Изало NTУ, 1958.—134 с.

Нав. АН Армении (сер. ГН), т. М.111 № 5, 1990. с.

МАШИНОСТРОЕНИЕ

NUIK #20.10:621,762

Г. Л. ПЕТРОСЯН, В. Г. СААКЯН, Г. В. МУСАЕЛЯН К. Н. ЭДИЛЯН, А. О. СИМОНЯН

ОСОБЕННОСТИ РАСЧЕТА ТОЛСТОСТЕННЫХ ТИТАНОВЫХ ФИЛЬТРОВ ПО ДОПУСКАЕМЫМ НАГРУЗКАМ

1 мес 2 пожет численный метод определения предельного давления толетостенных тита», вых фильтров Использованы зависимости теории пластичности реальных пористых материалов. Приведен авализ данных для различных тольши и пористостей толето тенных титановых фильтров.

Ил 3. Библиогр. 3 назв.

Հ տատապատ տիտանե ֆիլաբերի հրատիան անատիկանիան տեսություն բանակեր մեքեց Օդաազործված է իրական ժակտակնն հյուքերի պլաստիկանիյան տեսություն բանակեր ըր Բերվամ է տարրեր մաստասությունների և ծակտակներիյան աստապատ տիտանե հիստե րի ռամմահային ավյալների վերլուծությունը։

В работе [1] используется метод конечных элементов для исследования процесса пластического деформирования толстостенных бесконство длинных спеченных труб, нагруженных радиальным давлением Следует отметить, что это решение не охватывает все практически важные случая пластического деформирования толстостенных спеченных труб.

Целью настоящей работы являются исследование предельного состояния толстостенных фильтров из неупрочняемого титана при отсутствия осевых напряжений и выявление особенностей расчета спеченных труб по допускаемым нагрузкам. Для этого используем следующие зависимости теории пластичности реальных пористых материалов [2]:

$$z_{skn} = \frac{1}{8^n \cdot 0.5} \left[\frac{3}{2} S_{ij} S_{ij} + 9x^m c_0^2 \right]^{1/2}. \tag{1}$$

$$d\varepsilon_{ij} = -\frac{3d\varepsilon_{in}}{2\varepsilon_{mn}} \left[\varepsilon_{ij} - (1 - 2x^m) \, \delta_{ij} \, \sigma_n \right]. \tag{2}$$

$$dv = \frac{9x^m (1-v) dt_{\text{per}} z_n}{5^{m} z_{\text{PKR}}}$$
 (3)

$$\alpha = \frac{v}{2(1-v)} \cdot 3 = (1-v). \tag{4}$$

где \mathbf{d}_{∞} — эквивалентное напряжение. $\mathbf{d}\varepsilon_{\infty}$ эквивалентное приращение пластической деформации, — компоненты тензора приращений пластических деформаций, \mathbf{S}_{+} , \mathbf{z}_{+} — компоненты девиаторов

и тензоров напряжений, $z_{ij} = \frac{\delta_{ij} z_{ij}}{z_{ij}} - среднее напряжение, <math>z_{ij} = \frac{\delta_{ij} z_{ij}}{z_{ij}}$

= 5 - прирашение средней деформации, 3 - символ Кронскера.

и β — функции пористости, т и п — параметры пористости.

Условие возникновения пластической деформации реальных пористых материалов имеет вид [2]

$$\frac{1}{3^{n+3/3}} \left[\frac{3}{2} S_{ij} S_{ij} + 9 x^{n} z_{i} \right]^{3} = z_{ij}, \quad (5)$$

где σ_n предел текучести вещества пористого материала при и (ноосном напряжением состоянии, который является различным для разных пористых материалов и выражается через начальную пористость ν_n и предел текучести компактного материала $(\tau_t)_k$ следующей зависимостью;

$$= \frac{1 \overline{1 \cdot \alpha^m} \cdot 1 - v v^{\alpha^k}}{\sqrt{n \cdot \alpha \cdot \delta}} (\tau_t)_k, \tag{6}$$

где 🚓 👂 — значения функций пористости и, 🖇 при 😇 — 🗞

Для решения вышеуказанной задачи рассматривается толстостенная пористая труба с внутревним ралнусом a, наружным — b, нагруженная внутрениим давлением p. Принимается, что осевые напряжения отсутствуют: a, = 0. Уравнения равновесия и совместности деформаций для элемента толстостенной трубы амсют вид

$$ds_{j} = \frac{dr}{r} (z_{ij} - z_{j}), \qquad (7)$$

$$r\frac{dz_0}{dr} = z_r - z_0, \tag{8}$$

где z — текущий радиус трубы.

Из уравнения (I) с учетом условия з = 0 получаем

$$\sigma_{nkn} = \frac{1}{\sigma^{n-n}} \left[\frac{1}{\sigma^{n-n}} + \frac{1}{\sigma^{n}} \right] - \sigma_{r} \sigma_{\theta} \left(1 - 2\sigma^{m} \right) + \sigma_{\theta} \left(1 + \sigma^{m} \right) . \tag{9}$$

Решая уравнение (9) относительно з., находим

$$= \frac{a_r (1 - 2x^m) + 1}{2(1 + x^m)} \frac{1}{(1 + x^m)} \frac{-3s_r^2 (1 - 4x^m)}{2(1 + x^m)}$$
(10)

В расчетах используются следующие данные механических характеристик материала: $(z_n)_p = 315~M\Pi a,~m=1.4,~n=0.56.$ Численное решение задачи с учетом граничных условий начинается с наружного слоя трубы, где радиальное напряжение равно нулю $(z_p=0)$. Напряжение σ , определяется из уравнения (10) при $v=v_0$. По формулам (4) определяются и θ_0 , а по (6) —

Так как по условию задачи пластическая деформация только что достигла наружного слоя (нулевая точка), то для этого слоя компоненты деформаций и можно определить из зависимостей обобщенного закона Гука, в котором используются модуль упругости первого рода E_v и коэффициент поперечной деформации пористого материала —, зависящие от пористости: $E_v = E(1-v)^{-v}$, $v = v = \mu(1-v)^{-v}$ Здесь $E_v = v$ модуль упругости первого рода и коэффициент поперечной деформации вещества спеченного материала. Для гитана принимаем $E = 1,1\cdot10^v$ MHa, v = 0.22.

После определения компонентов напряжению-деформрованного состояния наружных точек полстостенного фильтра для получения данных первои точки (нервый шаг вовнутрь фильтра) задается малая величина эквивалентного приращения пластических деформаций (для всех шагов принимается $\Delta z_{3kn} = 0.0001$) и по известным величинам компонентов напряжений = пористости v_0 , соответствующих значений a_0 и согласно (2) определяются и dz_{ℓ_0} . Уравнение (8) позволяет определить d_{ℓ_0} . Радиус данного слоя определяется выражением $r = b + dr_0$. Приращение радиального напряжения dz_{ℓ_0} находится из уравнения (7), а приращение пористости $dz_{\ell_0} = u_0$ (3). Для определения $z_{\ell_0} = v_0 + dz_{\ell_0}$ используются следующие зависимости. $z_{\ell_0} = z_{\ell_0} + dz_{\ell_0}$, $v_1 = v_0 + dz_{\ell_0} + dz_{\ell_0} + dz_{\ell_0} + dz_{\ell_0}$. Значения напряжений для первой точки устанавливаем из формулы (10).

Найденные значения компонентов напряжение-деформированного состояния и пористости для первой точки, вышеприведенные уравнения и алгориты вычислений позволяют повторить цикл и для второй точки и определить новые z, β (формулы 4). dz_z , dz_z , (2), dz_z (8),

 $r_1 = r_1 + d_{r_1}$, ds_r (7), dv_2 (3), $s_{r_1} = s_{r_1} + ds_{r_2}$, $v_2 = v_1 + dv_2$, $s_r = s_{r_1} + ds_{r_2}$, $s_{t_1} = s_{t_2} + ds_{t_3}$, $s_{t_4} = s_{t_5} + ds_{t_6}$, и s_{t_6} (10). Цикл расчета повторяется дотех пор, нока r не сравняется с внутрениям радиусом s_r .

Таким образом, постепенным перемещением вовнутрь толстостенного фильтра получается распределение компонентов напряженно-деформированного состояния по толщине фильтра и устанавливается предельное давление фильтра $p_{np} = \sigma_{r-n}$ (σ_{r-2} — величина σ_r во внутреннем слое при r=a).

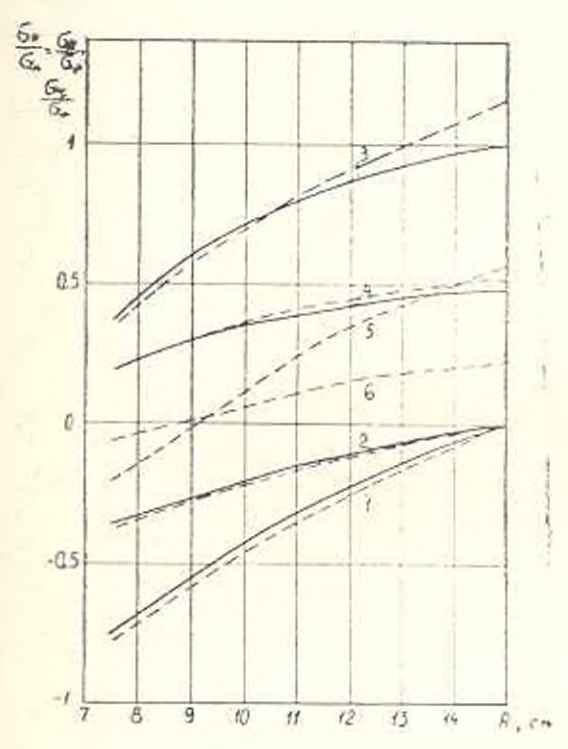
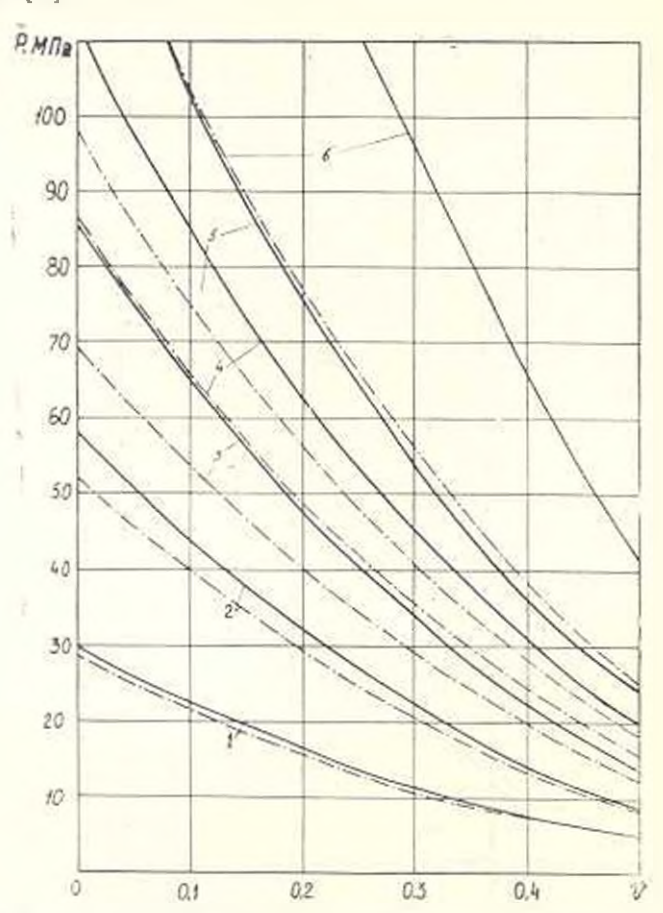


Рис. 1. Эпюры напряжений в толстостениом титановом фильтре: 1. 3 5 — при v., 0,0005. 2. 4. 6 — при v. = 0,2.

На рис. 1 сплощными линиями показаны эпюры распределения радиальных σ_{i} (1, 2) и окружных σ_{i} (3, 4) напряжений по толщине фильтра для начальных пористостей материала $v_{0}=0.0005$ (беспористый) и $v_{0}=0.2$ при k>2. Пітриховые линия соответствуют случаю отсутствия осевой деформации фильтра =0 (5, 0). Линии 5 и 6 показывают распределения осевых напряжений σ_{i} . Сопоставление данных рис. 1 показывает, во-первых, что величина начальной пористости материала оказывает существенное илияние на компоненты напряженного состояния толстостенного фильтра и, во-вторых, что для случаев $\sigma_{i}=0$ и $\sigma_{i}=0$ напряжения $\sigma_{i}=0$ напряжения в наибольшей степени отличаются по величине в точках наружного слоя фильтра.

При этом с увеличением пористости материала это расхождение умень шается. Следует отметить, что характер распределения напряжений для беспористого материала совпадает с результатами решения, приведенного в [3].



Пи рамми p=p для различных k. Кривая l при $k=1,1,1,1,2,\ldots,k=1,3,4-k=1,4,5-k=1,5,6-k=2.$

На рис. 2 сплоиными линиями показаны графики зависимостей между предельным давлением — и пористостью материала для различных k. Штрих-пунктирные линии соответствуют расчету по ломускаемым напряжениям при $\sigma = 0$, где допускаемое внутрениее давление с использованием формул Ламе и условия (6) определяется следующей формулой:

$$F = \frac{(k^{3} - 1) \beta^{n - 0.5}}{1 \cdot 1 + 4x^{m} + 3k^{4}} z_{i}.$$

При этом предполагается что пластическая деформация возникает только в опасной (внутренней) точке фильтра.

Анализ кравых рис. 2 показывает, что расчеты по допускаемым нагрузкам дают большие влачения предельных давлений. Несмотря на го, что кривые рис. 2 достаточно наглядно показывают влияние пористости материала и и размеров фильтра k на величину предельного давлении, для практических целей целесообразным является на оснонании этих данных построить также кривые изменения k-v для различных внутренних давлений p (рис. 3). Кривые 1-13 соответствуют

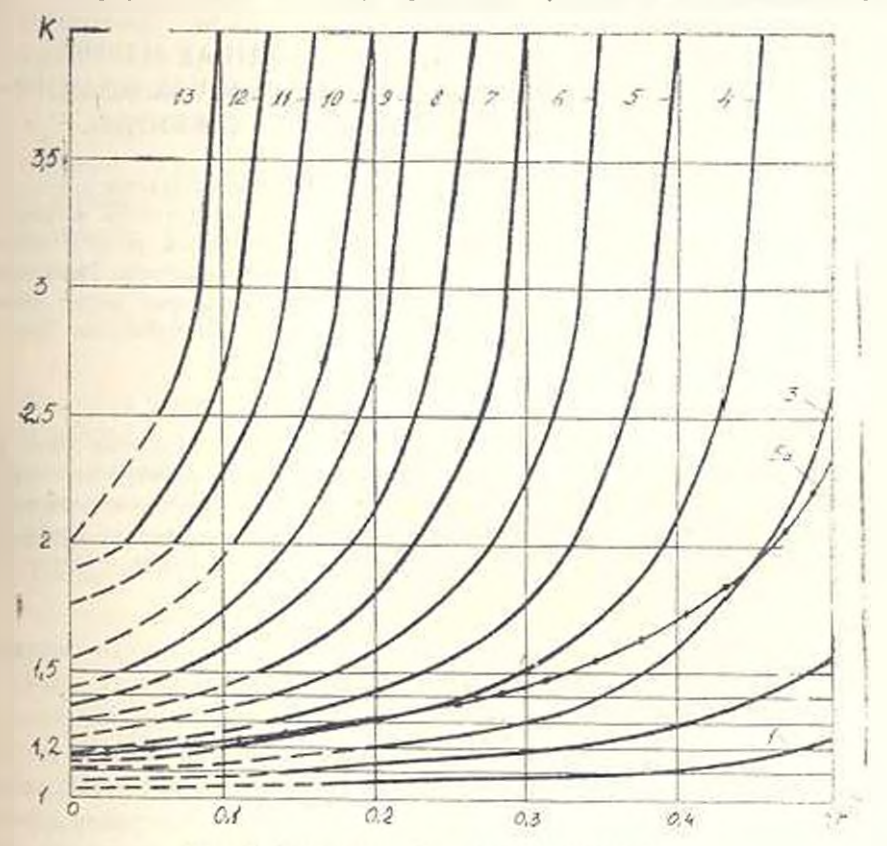


Рис 3. Диаграммы k-v для различных p_0

расчетам по допускаемым напряженням для различных внутренних давления ρ (от 10 до 130 $M\Pi a$). Кривая 5a, обозначенная точками, соответствует расчетам по допускаемым нагрузкам при $\rho_{np}=50$ $M\Pi a$ Сопоставление кривых δ и δa похазывает, что для заданного предельного давления (в данном случае 50 $M\Pi a$) расчет по допускаемым нагрузкам даст меньшую толицину фильтра и, следовательно, экономию материала, необходимого для его изготовления.

ЛИТЕРАТУРА

- Сердюк Г. Г., Михайдов О. В. Математическое моделирование иластическог пеформирования порошковых материалов при наличии свободной померхности // Порошковая металлургия. 1986. № 4. С. 18—22.
- 2. Петросян Г. Л. Пластическое деформирование порошковых материалов М.: Металлургия, 1988,— 153 с.
- 3. Малиния И. И. Прикладная теория пластичности и ползучести.— М.: Маниностроение, 1975.— 399 с.

20_XII 1989